



УДК 577.34.01:577.152.361.01:577.112

## ПОЛУЧЕНИЕ И ИССЛЕДОВАНИЕ МОДИФИЦИРОВАННЫХ В ОБЛАСТИ Н-КОНЦЕВОГО ДОМЕНА ФОРМ АТР-ЗАВИСИМОЙ Lon-ПРОТЕИНАЗЫ ИЗ *Escherichia coli*

© 1998 г. Ф. С. Расулова<sup>#</sup>, Н. И. Дергоусова, Э. Э. Мельников, Л. М. Гинодман, Т. В. Ротанова

Институт биоорганической химии им. М. М. Шемякина и Ю. А. Овчинникова РАН  
117871, Москва, ГСП-7, ул. Миклухо-Маклая, 16/10

Поступила в редакцию 26.01.98 г. Принята к печати 30.01.98 г.

Сравнительным анализом структур АТР-зависимых Lon-протеиназ из эволюционно удаленных источников установлены границы функциональных доменов в субъединицах ферментов. Методами генной инженерии получены модифицированные формы Lon-протеиназы *Escherichia coli* с удлиненным или замененным N-концевым доменом, а также "укороченный" фермент, лишенный N-концевого домена. Анализ энзиматических свойств модифицированных форм Lon-протеиназы позволил сделать заключение о важности N-концевого домена для активности фермента.

**Ключевые слова:** Lon-протеиназа, сериновая протеиназа, междоменные взаимодействия, ген *lon*, рекомбинантные гены, гибридные белки, *E. coli*.

Lon-протеиназа из *Escherichia coli* (КФ 3.4.21.53), называемая ранее La-протеиназой [1], осуществляет быструю селективную деградацию дефектных и некоторых короткоживущих регуляторных белков (субстраты-мишени) в цитозоле клетки [1–3]. Этот фермент является энергозависимой сериновой протеиназой, функционирование которой сопряжено с гидролизом АТР. К настоящему времени установлено, что энергозависимые протеиназы играют ключевую роль в регуляции клеточных функций и в поддержании гомеостаза у прокариот и эукариот [1–7].

По ряду параметров Lon-протеиназа отличается от "классических" сериновых протеиназ. Характерные особенности фермента:

- 1) селективность действия по отношению к субстратам-мишениям при отсутствии выраженной первичной специфичности;
- 2) сопряжение протеолиза с гидролизом АТР;
- 3) олигомерная структура (четыре идентичные субъединицы или более);
- 4) доменная организация субъединиц.

Основной задачей при изучении Lon-протеиназы является выяснение природы селективности

действия фермента и механизма сопряжения протеолиза с гидролизом АТР.

К настоящему времени аналоги гена *lon*, кодирующего Lon-протеиназу в клетках *E. coli*, обнаружены как у прокариот, так и у эукариот; выведены аминокислотные последовательности соответствующих ферментов [3, 8–20]. Таким образом, выявлено новое подсемейство сериновых протеиназ из эволюционно удаленных источников. Строение известных Lon-протеиназ схематически представлено на рис. 1, размеры Lon-протеиназ сравниваются в табл. 1.

Как видно из рис. 1а, в структурах субъединиц Lon-протеиназ можно выделить три функциональных домена, существование которых было постулировано ранее [10, 21]. Центральный домен (А-домен) обладает АТР-азной активностью и содержит характерные для ряда нуклеотид-триггерных белков фрагменты последовательности (мотивы Уолкера), участвующие в связывании нуклеотида и иона  $Mg^{2+}$ , – мотив А (GXXXXGKT/S) и мотив В (ZZZZD, Z – гидрофобная аминокислота) [22]. Структура мотива А консервативна для всех Lon-протеиназ, структуры мотива В несколько различаются у ферментов из прокариот и эукариот. С-Концевой домен (Р-домен) – протеолитический; идентифицированный нами ранее для фермента из *E. coli* каталитически активный остаток серина-679 [23] локализован в строго консервативном для всех Lon-протеиназ фрагменте последовательности PKDGPS\*AG, который не обнаруживается в структурах ни одной из сериновых протеиназ других подсемейств.

Сокращения: IPTG – изопропил- $\beta$ -D-тиогалактопиранозид, GST – глутатион-S-трансфераза, tl – тромбинчувствительный линкер.

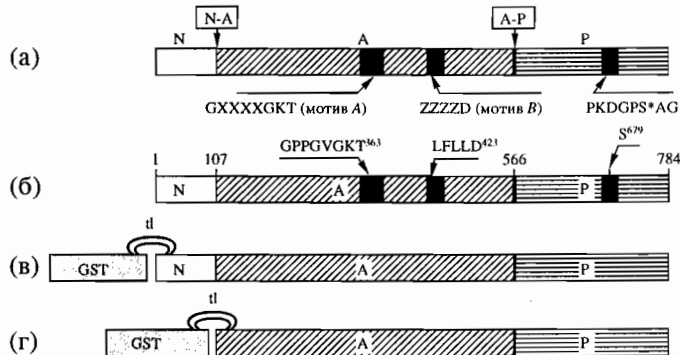
<sup>#</sup> Автор для переписки (тел.: (095) 335-42-22; e-mail: fatima@enzyme.siobc.ras.ru).

Функция N-концевого домена (N-домен) пока не выяснена, однако известно, что в N-концевом домене митохондриальной протеиназы из дрожжей содержится, в частности, адресующая препропоследовательность [24].

Наличие междоменных вставок в структурах ферментов эукариот (рис. 1а) позволяет уточнить границы доменов (табл. 1): размеры АТР-азного домена (459-471 а.о.) мало различаются у ферментов из разных источников; то же относится к протеолитическому домену (206-239 а.о.). Размеры N-концевых доменов значительно варьируют (96-288 а.о.). Наибольшая гомология последовательностей наблюдается в АТР-азном и протеолитическом доменах; в N-концевом домене подобие невелико.

Таким образом, именно N-концевой домен – наиболее вариабельный (как по размеру, так и по структуре) фрагмент Lon-протеиназ. Поэтому представляется актуальным вопрос о значении N-концевого домена для функционирования фермента. Из известных Lon-протеиназ наиболее доступен фермент из *E. coli* (далее – Lon-протеиназа) (рис. 1б), который обычно служит моделью при исследовании закономерностей функционирования сериновых протеиназ этого подсемейства. Цель данной работы – получение и исследование активности укороченной Lon-протеиназы, лишенной N-концевого домена (двухдоменный фрагмент фермента).

Для получения Lon-протеиназы и ее двухдоменного фрагмента был использован плазмидный вектор pGEX-KG [25] (рис. 2), который позволяет получать гибридные белки, состоящие из глутатион-S-трансферазы (GST, белок-носитель) и целевого белка, соединенных линкером Leu-Val-Pro-Arg-Gly-Ser-Pro-Gly, который гидролизуется тромбином по связи Arg-Gly.



**Рис.1.** Схемы строения: АТР- зависимых Lon-протеиназ из различных источников (обобщенная, а), Lon-протеиназы *E. coli* (б) и гибридных белков, использованных для получения Lon-протеиназы (в) и ее двухдоменного фрагмента (г). N, A, P – соответственно N-концевой, АТР-азный и протеолитический домены, N-A и A-P – вставочные полипептидные фрагменты, GST – глутатион-S-трансфераза, tl – тромбинчувствительный линкер. Показана локализация консервативных фрагментов (мотивов А и В Уолкера и фрагмента, включающего каталитически активный остаток серина).

Фрагменты ДНК, кодирующие полноразмерную и модифицированную Lon-протеиназу, получали полимеразной цепной реакцией (ПЦР) с использованием в качестве матрицы ранее сконструированного экспрессионного вектора pBR327lon [10].

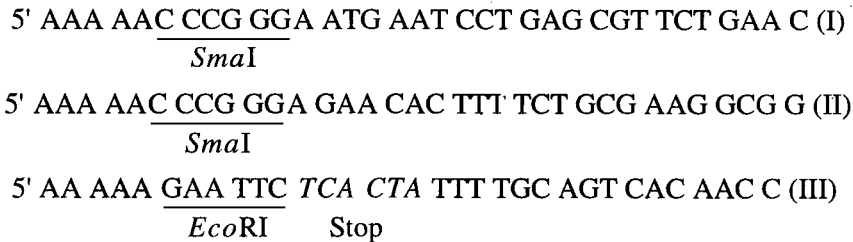
Использовали синтетические праймеры (I) – (III). Праймеры (I) и (II) – прямые, частично комплементарные участкам цепи ДНК, кодирующими N-концевые аминокислотные последовательности полноразмерной Lon-протеиназы (NAP) или ее двухдоменного фрагмента (AP) в составе гибридного белка; праймер (III) – обратный, частично комплементарный участку кодирующей цепи гена *lon*, содержащему стоп-кодоны (выделены

**Таблица 1.** Сравнение Lon-протеиназ из различных источников

№	Источник	Число аминокислотных остатков						Ссылки
		N-домен	N-A	A-домен	A-P	P-домен	Всего	
1	<i>Escherichia coli</i>	107	–	459	–	218	784	[8-10]
2	<i>Erwinia amylovora</i>	107	–	459	–	218	784	[11]
3	<i>Bacillus brevis</i>	106	–	460	–	213	779	[12]
4	<i>B. subtilis</i>	105	–	460	–	210	775	[13]
5	<i>Myxococcus xanthus</i> V	119	–	459	–	239	817	[14]
6	<i>M. xanthus</i> D	130	–	461	–	237	828	[15]
7	<i>Borrelia burgdorferi</i>	138	–	464	–	206	808	В [3]
8	<i>Mycobacterium smegmatis</i>	96	–	466	–	217	779	[16]
9	<i>Saccharomyces cerevisiae</i>	288	85	471	53	219	1116	[17, 18]
10	<i>Homo sapiens</i>	201	45	466	–	225	937	[19, 20]
	Гомология	<20%	–	~50%	–	~55%		

курсивом). Праймеры содержали последовательность сайтов узнавания рестриктаз *Sma*I и *Eco*RI,

использованных при клонировании в экспрессионном векторе pGEX-KG.



Амплифицированные фрагменты ДНК размечом 2352 и 2028 п.о. выделяли из 1% агарозного геля и последовательно обрабатывали рестриктазами *Sma*I и *Eco*RI. В результате клонирования полученных фрагментов ДНК в плазмидном векторе pGEX-KG были получены рекомбинантные плазмида pGEX-NAP и pGEX-AP.

Экспрессию соответствующих генов проводили в клетках *E. coli* штамма МН I. Индукцию *tac*-промотора ( $P_{tac}$ ) осуществляли добавлением IPTG. Клетки осаждали центрифугированием. Накопление рекомбинантных белков контролировали электрофорезом в 10% ПААГ в присутствии SDS (рис. 3).

В результате были получены гибридные белки (в растворимой форме), содержащие полноразмер-

ную (остатки 1-784) Lon-протеиназу (GST-tl-NAP,  $M_r$  113 кДа) (рис. 1в) и укороченную (остатки 107-784) Lon-протеиназу (GST-tl-AP,  $M_r$  101 кДа) (рис. 1г), tl – тромбинчувствительный линкер. Выход гибридных белков по данным гель-электрофореза составил около 30% суммарного белка клетки (рис. 3). Полученные гибридные белки можно рассматривать как Lon-протеиназу с модифицированным N-концевым доменом: увеличенным (в случае GST-tl-NAP) или полностью замененным (в случае GST-tl-AP).

При выделении гибридных белков клетки разрушали ультразвуком и после центрифугирования получали бесклеточный экстракт. Далее использовали один из двух вариантов: 1) последовательная хроматография на фосфоцеллюзопе Р-11 и на DEAE-ToyoPearl (стандартная методика выделения Lon-протеиназы [21]) или 2) аффинная хроматография на глутатион-агарозе, сорбирующей только GST-содержащие белки, которые элюировали далее раствором восстановленного глутатиона [25, 26]. Чистота полученных препаратов гибридных белков в обоих вариантах составляла около 90% (по данным гель-электрофореза). Выход гибридного белка достигал 5 мг на 1 г клеток *E. coli*, что более чем на порядок превышает выход Lon-протеиназы в случае использования экспрессионной конструкции pBR327lon [21].

Гидролиз гибридных белков GST-tl-NAP и GST-tl-AP тромбином [26] по связи -Arg-Gly- в тромбинчувствительном линкере приводит к образованию целевых белков – Lon-протеиназы и ее двухдоменного фрагмента (NAP и AP соответственно), содержащих на N-концевых частях молекул дополнительный тетрапептид Gly-Ser-Pro-Gly. Строение полученных белков подтверждено N-концевым аминокислотным секвенированием (15 а.о.).

Сравнительные данные по АТР-зависимой протеолитической и АТР-азной активности исследуемых препаратов и нативной Lon-протеиназы (табл. 2) свидетельствуют о том, что удлинение N-концевой части Lon-протеиназы на 4 (NAP) и на 226 а.о. (GST-tl-NAP) практически не влияет на энзиматические характеристики фермента.

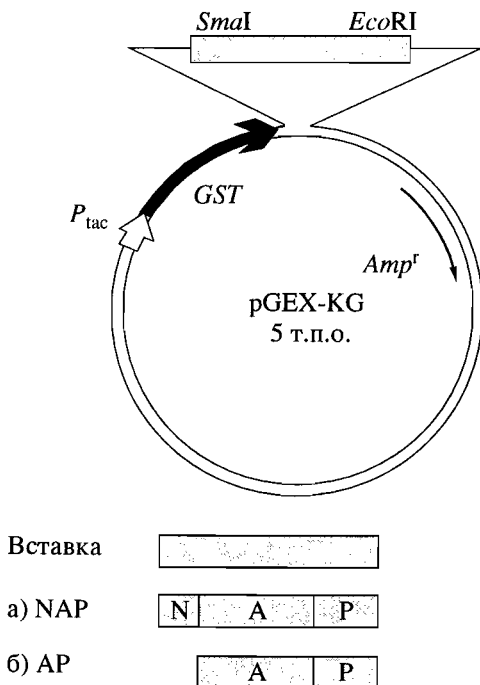


Рис. 2. Экспрессионный вектор pGEX-KG со вставками NAP (а) и AP (б), черная стрелка – ген GST, вынесен полилинкер со вставкой и показаны сайты рестрикции, по которым проводилось клонирование.

Добавление казеина приводит к стимуляции гидролиза АТР обеими модифицированными формами более чем в 2 раза, что также согласуется с результатами, полученными для нативной Lon-протеиназы.

В то же время замена N-концевого домена на GST (GST-tl-AP) значительно снижает и АТР-зависимую протеолитическую активность, и АТР-азную активность. Укороченная форма Lon-протеиназы (двухдоменный фрагмент, AP) практически полностью утрачивает оба вида активности.

Приведенные данные позволяют заключить, что структура N-концевого домена имеет важное значение для проявления Lon-протеиназой ферментативной активности.

### ЭКСПЕРИМЕНТАЛЬНАЯ ЧАСТЬ

В работе использовали следующие реагенты и ферменты: трис-гидроксиметиламинометан (трис), акриламид, N,N'-метиленбисакриламид, персульфат аммония, додецилсульфат натрия, агарозу, N,N,N',N'-тетраметилэтилендиамин, реагент для определения белка (Bio-Rad, США); этилендиаминететрауксусную кислоту (EDTA), дитиогрейт, бромистый этидий, бычий сывороточный альбумин (BSA), бычий  $\alpha$ -казеин, глутатион-агарозу, восстановленный глутатион (Sigma, США); фосфоцеллюзу P-11 (Whatman, Англия), DEAE-ToyoPearl (Toyo Soda, Япония); агар, триптон, дрожжевой экстракт (Difco, Англия); динатриевую соль аденоzin-5'-трифосфорной кислоты (АТР) (Boehringer Mannheim, Германия), бычий тромбин (КФ 3.4.21.5), IPTG, эндонуклеазы рестрикции *Sma*I, *Eco*RI (Fermentas, Литва), бактериальную щелочную фосфатазу (Amersham, США), трихлоруксусную кислоту, глицерин ("Реахим", Россия). ДНК-полимераза из *Thermus aquaticus* и ДНК-лигаза фага T4 любезно предоставлены В.М.Крамаровым. В работе использовался бак-

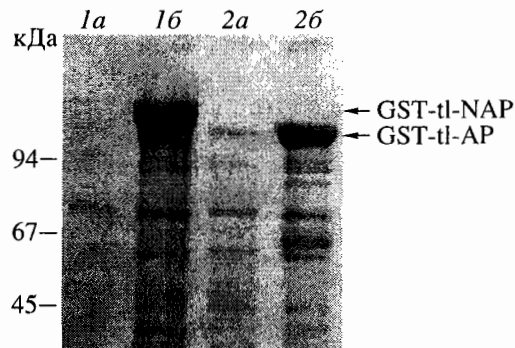


Рис.3. Электрофорез в 10% SDS-ПААГ лизатов клеток *E. coli* MH I, трансформированных плазмидами pGEX-NAP (1) и pGEX-AP (2); а) до индукции, б) через 3 ч после индукции IPTG. Стрелками показано положение целевых белков. Слева указаны стандарты молекулярных масс (кДа).

териальный штамм *E. coli*: МН-I (*araD139*, *lacX74*, *galU*, *galK*, *hsr*<sup>-</sup>, *hms*, *strA*).

Олигонуклеотидные праймеры (I) – (III) синтезированы в ИБХ РАН Н.С.Быстровым.

**Клонирование и экспрессия полноразмерного гена *lon* и его фрагмента.** Фрагменты ДНК, соответствующие нуклеотидным последовательностям полноразмерного и укороченного гена *lon*, были получены методом ПЦР при использовании в качестве матрицы плазмидного вектора pBR327~~lon~~ [10]. Полученные фрагменты ДНК после рестрикции лигировали в вектор pGEX-KG [25] по сайтам узнавания рестриктаз. Лигазной смесью трансформировали компетентные клетки штамма МН I. Скрининг клонов, несущих соответствующие плазмидные конструкции, осуществляли с помощью рестриктного анализа. Приготовление компетентных клеток, трансформацию бактерий, выделение плазмидной ДНК, обработку рестриктазами и электрофорез ДНК проводили по стандартным методикам [27]. Экспрессию рекомбинантных генов проводили в клетках

Таблица 2. Ферментативная активность протеиназы Lon из *Escherichia coli* и ее модифицированных форм\*

Форма фермента	ATP- зависимая протеолитическая активность, %	ATP-азная активность					
		базовая			в присутствии казеина		
		$k_{cat}$ , мин <sup>-1</sup>	$K_m$ , мМ	$k_{cat}/K_m$ , (мМ мин) <sup>-1</sup>	$k_{cat}$ , мин <sup>-1</sup>	$K_m$ , мМ	$k_{cat}/K_m$ , (мМ мин) <sup>-1</sup>
Нативный	100	19	0.20	95	48	0.18	267
GST-tl-NAP	100	22	0.23	96	46	0.21	219
NAP	100	20	0.21	95	47	0.19	247
GST-tl-AP	5	3	0.36	8			Не определяли
AP	1			<5			Не определяли

\* Условия проведения реакций описаны в "Экспер. части". Кинетические параметры определены с точностью 10% для  $k_{cat}$  и 25% для  $K_m$ .

*E. coli* штамма МН I. Ночную культуру трансформированных соответствующей плазмидой бактерий (среда LB, содержащая 100 мкг/мл ампциллина) разбавляли в соотношении 1 : 100 этой же средой с добавлением антибиотика и наращивали биомассу при 37°C и интенсивной аэрации до достижения значения оптического поглощения  $A_{600}$  0.3–0.5. Добавляли IPTG до конечной концентрации 0.5 мМ. Индукцию проводили течение 3–4 ч, затем осаждали клетки центрифугированием.

**Выделение гибридных белков.** Осадок клеток, полученный из 200 мл культуры, ресуспензировали в 5 мл охлажденного 50 мМ трис-HCl-буфера (pH 7.3), содержащего 10% глицерин (буфер А). Полученную суспензию обрабатывали с помощью ультразвукового дезинтегратора, разбавляли до 10 мл тем же буфером и центрифугировали (30 мин, 40000g). Бесклеточный экстракт наносили со скоростью 3 мл/ч на колонку (1.0 × 3 см) с глутатион-агарозой, предварительно уравновешенной буфером А. Колонку промывали от несвязавшихся белков буфером А. Элюцию белка осуществляли буфером А, содержащим 5 мМ восстановленный глутатион. Концентрацию белка определяли по методу Брэдфорд [28] с помощью реагента фирмы Bio-Rad; фракции анализировали с помощью SDS-электрофореза по Лэммли [29].

**Гидролиз гибридных белков тромбином** проводили 2 ч при 25°C в 1.5 мл реакционной смеси, содержащей 0.5 мг гибридного белка и 6 мкЛ тромбина (330 ед. акт./мл) в буфере А.

**Протеолитическую активность** препаратов ферментов определяли по их способности к гидролизу [ $^{14}\text{C}$ ]ацетил- $\alpha$ -казеина как описано в работе [30].

**ATP-азную активность** определяли по методике, описанной в работе [30].

Работа была выполнена при финансовой поддержке International Science Foundation (гранты NF8000 и NF8300), Российского фонда фундаментальных исследований (грант 96-04-50239) и Государственной научно-технической программы “Новейшие методы белковой инженерии” (грант 03.0004Н-342).

## СПИСОК ЛИТЕРАТУРЫ

1. Goldberg A.L., Swamy K., Chung C., Larimore F. // Meth. Enzymol. 1981. V. 80. P. 680-702.
2. Goldberg A.L., Morschell R.P., Chung C.H., Maurizi M.R. // Meth. Enzymol. 1994. V. 244. P. 350-375.
3. Gottesman S., Wickner S., Jubete Y., Singh S.K., Kessel M., Maurizi M. // Cold Spring Harbor Symp. Quant. Biol. 1995. V. 60. P. 533-548.
4. Maurizi M.R. // 1992. Experientia. V. 48. P. 178-201.
5. Goldberg A.L. // Eur. J. Biochem. 1992. V. 203. P. 9-23.
6. Gottesman S., Maurizi M.R. // Microbiol. Rev. 1992. V. 56. P. 592-621.
7. Phillips T., Van Bogelen R., Neidhardt F. // J. Bacteriol. 1984. V. 159. P. 283-287.
8. Chin D.T., Goff S.A., Webster T., Smith T., Goldberg A.L. // J. Biol. Chem. 1988. V. 263. P. 11718-11728.
9. Америк А.Ю., Чистякова Л.Г., Остроумова Н.И., Гуревич А.И., Антонов В.К. // Биоорган. химия. 1988. Т. 14. С. 408-411.
10. Америк А.Ю., Антонов В.К., Остроумова Н.И., Ротанова Т.В., Чистякова Л.Г. // Биоорган. химия. 1990. Т. 16. С. 869-880.
11. Eastage J.A., Taylor N., Coleman M.J., Healy B., Thompson L., Roberts I.S. // J. Bacteriol. 1995. V. 177. P. 932-937.
12. Ito K., Ueda S., Yamagata H. // J. Bacteriol. 1990. V. 174. P. 2281-2287.
13. Riethdorf S.U., Volker U., Gerth U., Winkler A., Engelmann S., Hecker M. // J. Bacteriol. 1994. V. 176. P. 6518-6527.
14. Tojo N., Inouye S., Komano T. // J. Bacteriol. 1993. V. 175. P. 2271-2277.
15. Tojo N., Inouye S., Komano T. // J. Bacteriol. 1993. V. 175. P. 4545-4549.
16. Roudiak S.G., Seth A., Knipfer N., Shrader Th. E. // Biochemistry. 1998. V. 37. P. 377-386.
17. Suzuki C., Suda K., Wang N., Schatz G. // Science. 1994. V. 264. P. 273-276.
18. Van Dyck L., Pearce D.A., Sherman F. // J. Biol. Chem. 1994. V. 269. P. 238-242.
19. Wang N., Gottesman S., Willingham M.C., Gottesman M.M., Maurizi M.R. // Proc. Natl. Acad. Sci. USA. 1993. V. 90. P. 11247-11251.
20. Amerik A.Yu., Petukhova G.V., Grigorenko V.G., Lykov I.P., Yarovoii S.V., Dergousova N.I., Lipkin V.M., Gorbatenko A.E. // FEBS Lett. 1994. V. 340. P. 25-28.
21. Ротанова Т.В., Котова С.А., Америк А.Ю., Лыков И.П., Гинодман Л.М., Антонов В.К. // Биоорган. химия. 1994. Т. 20. С. 114-125.
22. Walker J.E., Saraste M., Runswick M.J., Gay N.J. // EMBO J. 1982. V. 1. P. 945-951.
23. Amerik A.Yu., Antonov V.K., Gorbatenko A.E., Kotova S.A., Rotanova T.V., Shimbarevich E.V. // FEBS Lett. 1991. V. 287. P. 211-214.
24. Wagner I., van Dyck L., Savel'ev A.S., Neupert W., Langer T. // Embo J. 1997. V. 16. P. 7317-7325.
25. Guan K.L., Dixon J. E. // Anal. Biochem. 1991. V. 192. P. 262-267.
26. Smith D.B., Johnson K.S. // Gene. 1988. V. 67. P. 31-40.
27. Маниатис Т., Фрич Э., Сэмбрюк Дж. Молекулярное клонирование. М.: Мир, 1984.
28. Bradford M. // Anal. Biochem. 1976. V. 72. P. 248-254.
29. Laemmli U.K. // Nature. 1970. V. 227. P. 680-685.
30. Мельников Э.Э., Цирульников К.Б., Гинодман Л.М., Ротанова Т.В. // Биоорган. химия. 1998. Т. 24. С. 293-299.

## Mutant Forms of the *Escherichia coli* Lon Protease with a Modified N-Terminal Domain

F. S. Rasulova<sup>#</sup>, N. I. Dergousova, E. E. Mel'nikov, L. M. Ginodman, and T. V. Rotanova

Shemyakin-Ovchinnikov Institute of Bioorganic Chemistry, Russian Academy of Sciences,  
ul. Miklukho-Maklaya 16/10, GSP-7 Moscow, 117871 Russia

The functional domain boundaries of the ATP-dependent Lon proteases were identified by comparative analysis of the amino acid sequences of the enzymes from evolutionarily distant organisms. Modified forms of the *Escherichia coli* Lon protease with the elongated or substituted N-terminal domain and a truncated enzyme lacking the N-terminal domain were obtained through genetic engineering methods. Analysis of the enzymatic properties of the resulting modified forms of Lon protease revealed the importance of the N-terminal domain in its function.

**Key words:** protease Lon, serine protease, domain-domain interactions, lon gene, recombinant genes, hybrid proteins, *Escherichia coli*

---

<sup>#</sup> To whom correspondence should be addressed (phone: (095)335-4222; e-mail: fatima@enzyme.siobc.ras.ru).